



ÉCOLE NATIONALE SUPÉRIEURE  
D'ÉLECTRONIQUE, INFORMATIQUE,  
TÉLÉCOMMUNICATIONS, MATHÉMATIQUES ET  
MÉCANIQUE DE BORDEAUX

---

## Lecture de code-barres par lancers aléatoires de rayons

---

DÉPARTEMENT TÉLÉCOM  
TS225 : PROJET IMAGES  
RAPPORT

*Elèves :*

Elisa CHIEN  
Alban OBERTI  
Tierno-Alpha TALL  
David YAN

*Encadrant :*

Marc DONIAS

## Table des matières

# 1 Introduction

Le projet présenté dans ce rapport s'intéresse à la lecture automatique des codes-barres à partir d'images. L'objectif principal est de développer un algorithme capable de détecter et de lire un code-barres en utilisant des techniques de traitement d'image.

D'abord, nous détaillerons les algorithmes utilisés pour la détection et la lecture du code-barres. Ensuite, nous expliquerons l'implémentation de ces algorithmes, puis présenterons les résultats obtenus illustrés par des exemples d'images traitées. Enfin, nous conclurons sur les performances globales.

# 2 Algorithmes

## 2.1 Détection du code barre (Phase 2)

Dans cette première phase, nous devons détecter des zones susceptibles de contenir un code barre et tracer un rayon qui permet la lecture du code barre.

### Segmentation en régions d'intérêt

Les régions d'intérêt correspondent aux zones où il y a des codes-barres. Le code-barre présente une géométrie particulière avec de grandes bandes noires, très fines et parallèles entre elles. Cette uniformité dans la répartition des bandes et l'alternance de bandes noires et blanches se traduit par une configuration spécifique du vecteur de gradient de l'intensité de l'image.

L'algorithme vise à mettre en évidence cette configuration. Pour cela, nous allons calculer le tenseur de structure local. Ce tenseur nous permettra de calculer une mesure de cohérence, qui nous permettra d'évaluer si une certaine région ou structure dans l'image présente une uniformité ou une régularité dans ses caractéristiques. Elle nous permettra de détecter la géométrie particulière du code-barre.

$$T(x, y) = \begin{bmatrix} T_{xx}(x, y) & T_{xy}(x, y) \\ T_{xy}(x, y) & T_{yy}(x, y) \end{bmatrix}$$

FIGURE 1 – Tenseur de structure local

Cette matrice permet de mettre en évidence des zones de concentrations importantes de transitions entre pixels sombres et clairs ; autrement dit l'alternance des barres dans un code barre.

$$T_{ab}(x, y) = \int_{-\infty}^{\infty} \int_{-\infty}^{\infty} W(u, v) I_a(x + u, y + v) I_b(x + u, y + v) du dv$$

où  $W(x, y)$  est la fonction bidimensionnelle de pondération du voisinage au point  $(x, y)$  et  $I(x, y)$  le vecteur gradient d'intensité.

FIGURE 2 – Coefficient du tenseur de structure local

Pour calculer la mesure de cohérence, nous allons devoir d'abord calculer les vecteurs gradient d'intensité de l'image, ainsi que la fonction de pondération du voisinage pour pouvoir former le tenseur de structure local. Ensuite, la mesure de cohérence se calcule avec les coefficients du tenseur. Pour avoir de meilleur résultat, nous avons normalisé les vecteurs gradient d'intensité de l'image. Enfin, pour obtenir les régions d'intérêts, nous effectuons un seuillage sur la mesure de cohérence. Cette dernière permet de garder

$$D(x, y) = \sqrt{\frac{(T_{xx}(x, y) - T_{yy}(x, y))^2 + 4(T_{xy}(x, y))^2}{T_{xx}(x, y) + T_{yy}(x, y)}}$$

FIGURE 3 – Mesure de cohérence

seulement les régions structurées (et donc probables de contenir un code barres) de manière ordonnées parmi les zones d'intérêt candidates.

### Tracé d'un segment traversant le code barre

Après avoir obtenu les différentes régions d'intérêt, nous les labélisons pour pouvoir effectuer les manipuler. Ce processus nous permet d'obtenir un nuage de points. On peut dès cette étape tracer des rayons qui le traversent en son centre, de façon aléatoire ou régulière. En outre, une méthode plus astucieuse consiste en l'extraction d'informations sur la forme de du nuage de points à partir de sa matrice de covariance. En diagonalisant

$$\Sigma = \begin{pmatrix} \text{Var}(X) & \text{Cov}(X, Y) \\ \text{Cov}(Y, X) & \text{Var}(Y) \end{pmatrix}$$

FIGURE 4 – Matrice de covariance  $\Sigma$

celle-ci, on obtient :  $\lambda_1$  caractérise la dispersion des points du nuage autour de l'axe définit

$$\mathbf{D} = \begin{pmatrix} \lambda_1 & 0 \\ 0 & \lambda_2 \end{pmatrix} \text{ et } (u_1, u_2) \text{ les vecteurs propres associés}$$

FIGURE 5 – Diagonalisation de  $\Sigma$

par  $u_1$ , et  $\lambda_1$  la dispersion autour de l'axe défini par  $u_2$ . En effet, les valeurs propres sont homogènes à une variance, et par conséquent leurs racines carrées permettent de mesurer approximativement la largeur du nuage. En particulier, on utilise la valeur propre la plus grande  $\lambda_{max}$  pour déterminer la largeur du code barre, et le vecteur propre  $u_{min}$ , associé à la valeur propre minimale  $\lambda_{min}$  pour calculer son orientation

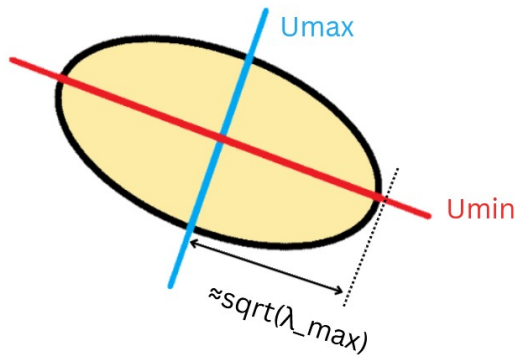


FIGURE 6 – Schéma d'un nuage de points et des axes correspondants

C'est en utilisant ces informations qu'on est capable de tracer un rayon qui traverse le code barre dans sa largeur, en suivant le procédé ci-dessous.

---

#### Algorithm 1 Calcul de l'axe et du rayon

---

```

1: procedure CALCUL DU RAYON POUR UN NUAGE DONNÉ
2:   Entrées :  $k$  ▷ facteur d'ajustement
3:   Calculer les valeurs propres  $\lambda_1, \lambda_2$  et les vecteurs propres associés  $u_1$  et  $u_2$ 
4:   Comparer les valeurs propres pour déterminer  $\lambda_{min}$  et  $\lambda_{max}$ 
5:   Extraire le vecteur propre  $u_{min}$  associé à la valeur propre minimale  $\lambda_{min}$ 
6:   Calculer la longueur approximative du nuage de points :  $r \leftarrow k \cdot \sqrt{\lambda_{max}}$ 
7:   Calculer  $ray \leftarrow r \times \frac{u_{min}}{\|u_{min}\|_2}$ 
8:   return  $ray$ 
9: end procedure

```

---

## 2.2 Lecture du code barre (Phase 1)

La phase précédente a permis de récupérer un ensemble de couple de points représentant des rayons. Pour chaque couple de points, nous déterminons d'une part les 13 valeurs du code barre, et d'autre part, nous vérifions s'il est valide ou non.

### Seuillage à l'aide d'Otsu

La méthode d'Otsu est une technique de seuillage de Nobuyuki Otsu utilisée en traitement d'images pour la segmentation binaire. Elle vise à séparer les pixels d'une image en deux classes distinctes : l'avant-plan et l'arrière-plan. Pour ce faire, on construit l'histogramme des niveaux de gris de l'image et évalue la dispersion des pixels pour chaque seuil possible. Le seuil optimal est celui qui maximise la variance inter-classe, assurant ainsi une séparation claire entre les deux classes. En pratique, le seuil calculé se situe entre les deux pics de l'histogramme.

### Détermination des limites du code-barres

La première étape de cette phase est de réduire le segment initial, de sorte que les deux nouveaux points correspondent à la première barre noire du code barre. Pour cela, nous devons tout d'abord opérer un seuillage de l'image grâce au seuil donné par l'algorithme d'Otsu.

Cet ensemble de points va alors être binarisé grâce au seuil. C'est à dire que les points de l'image ayant une valeur inférieure au seuil vont être associés à 0 et ceux ayant une valeur supérieure au seuil vont être associés à 1.

Les points déterminant le début et la fin du code-barres sont ensuite déterminés en prenant le premier et dernier point de valeur 0.

Finalement, un dernier échantillonnage suivi d'une binarisation sur le même seuil permet de trouver la liste binaire à analyser. Cette liste devant être compatible avec les hypothèses de données auxquelles nous allons la comparer, la binarisation ce fera dans le sens contraire de la première. C'est à dire que les points de valeurs inférieures au seuil vont valoir 1 tandis que les autres vont valoir 0. Le nombre de point échantillonnes est calculé en prenant  $N = u * 95$  avec  $u$  le plus petit multiple de 95 tel que  $u * 95 > L$  avec  $L$  la longueur du segment du code barre

### Analyse du code barre binaire

La prochaine étape consiste à séparer les différents blocs contenu dans la liste binaire obtenu précédemment en ne gardant que ceux représentant des nombres. Pour décoder chaque blocs, ils font être comparé avec des données de décodage en adaptant celle-ci à la taille du bloc. Le choix se fera en prenant la plus petite norme de la différence entre le bloc et les données comparées.

Le résultat de cette analyse se traduit par une liste de 12 chiffres et d'une liste de 6 lettres (A ou B) déterminées de la même façon que pour les chiffres avec le tableau précédent. Cette dernière permet de déterminer le premier chiffre du code-barres

	Élément A	Élément B	Élément C
0	BBBNBNN	BNBBNNN	NNNBBNB
1	BBNNBBN	BNNBBNN	NNBBNNB
2	BBNBBNN	BBNNBNN	NNBNNBB
3	BNNNNBN	BNBBBNN	NBBBNNB
4	BNBBBNN	BBNNNBN	NBNNBB
5	BNNBBBBN	BNNNBBN	NBBNNNB
6	BBNBNNN	BBBNBNN	NBNBBNB
7	BNNNBNN	BBNBBBN	NBBBNNB
8	BNNBNNN	BBBBBNN	NBBNBBB
9	BBBNBNN	BBNBNNN	NNNBNBB

TABLE 1 – Tableau des éléments et des séquences associées

### Détermination du premier chiffre du code barre

À partir de la séquence AB obtenue, nous pouvons déterminer le premier chiffre. Il suffit ainsi de lire le tableau de correspondance suivant :

Séquence	1 <sup>er</sup> Chiffre	Séquence	1 <sup>er</sup> Chiffre
AAAAAA	0	ABBAAB	5
AABABB	1	ABBBAA	6
AABBAB	2	ABABAB	7
AABBBA	3	ABABBA	8
ABAABB	4	ABBABA	9

TABLE 2 – Tableau des familles d'appartenance de la séquence

### Vérification de la clef de contrôle

Pour déterminer la clé de contrôle, il faut additionner les chiffres en positions paires à trois fois la somme des chiffres en positions impaires jusqu'au 12<sup>eme</sup> chiffre. La clé est alors valable si le chiffre des unités est égal au complément à 10 du 13<sup>eme</sup> chiffre du code.

## 3 Implémentation

### 3.1 Phase 1 : Détection du code barre

#### Image

À partir d'une image en couleur RGB, nous la convertissons en YCbCr et ne gardons que le canal de luminance. En effet, un code-barre est une alternance de bandes noires et blanches, donc seul ce contraste d'intensité nous intéresse.

On ajoute d'ailleurs un bruit blanc gaussien centré de variance  $\sigma_{bruit}^2$  dès le chargement de l'image. Cela améliore la capacité de détection.

#### Mesure de cohérence

Pour le calcul de la mesure de cohérence, nous devons tout d'abord calculer les vecteurs gradients d'intensité. Pour cela, nous les calculons au moyen des filtres de Canny, ce qui correspond à appliquer un filtre convolutif gaussien avec un écart type  $\sigma_g$ . Cet écart type doit être relativement faible pour trouver les vecteurs de transition correspondant aux barres blanches et noires.

Ensuite, nous calculons la fonction de pondération du voisinage à l'aide d'un filtre passe-bas gaussien, avec un écart type  $\sigma_t$ . Cet écart type doit être proportionnel à la taille du code-barre par rapport à la taille de l'image pour trouver des clusters de vecteurs gradient d'intensité.

#### Labélisation

La labélisation des objets détectés dans l'image binaire est réalisée à l'aide de la fonction `measure.label` de la bibliothèque `skimage`. Cette fonction attribue un label unique à chaque blob extrait par le biais des étapes précédentes, permettant ainsi de les distinguer et de les analyser individuellement. À l'aide de celle-ci, nous obtenons une image labélisée accompagnée du nombre total d'objets détectés. Finalement, on obtient le nuage de points correspondant à toutes les régions potentiellement intéressantes qui ont été détectées.

De plus, pour éviter d'avoir des zones d'intérêt parasites, on rajoute sur l'image d'origine, avant le traitement d'image, un bruit blanc gaussien pour réduire la qualité de l'image. En effet, ce bruit va perturber les zones de faux positifs sans trop perturber le code-barre puisque sa structure est très contrastée.

#### Classe Blob

Une fois les différentes régions extraites de l'image, il nous fallait être en capacité de tracer des rayons pour la lecture. C'est dans cet esprit que nous avons implémenté une classe *Blob*. Celle-ci fournit une interface qui permet à l'utilisateur d'obtenir toutes les données utiles relatives à un blob sans qu'il ait à se soucier de l'implémentation. Ceci nous permet de produire un code plus synthétique et de fluidifier l'échange entre les deux équipes de projet.

Une instance de *Blob* contient une batterie d'attributs nécessaires au calcul des éléments essentiels pour le tracé : on peut citer le barycentre, la matrice de covariance, ses valeurs

et vecteurs propres, etc. Ces attributs sont accompagnés de méthodes qui implémentent plusieurs approches pour le tracé d'un rayon sur un blob donné. On peut par exemple tracer des rayons aléatoires qui passent par le barycentre du blob, ou un rayon de taille adéquate aligné sur l'axe du code-barre tout en étant capable d'ajuster sa longueur pour tenir compte de la déformation induite par le processus d'extraction des zones d'intérêt.

On peut aussi, à travers cette interface, aisément ajouter des méthodes de calcul qui permettraient d'affiner la détection : par exemple, pour utiliser d'autres approches pour le calcul du rayon, ou l'ajout de filtres sur la forme du blob pour quantifier une probabilité qu'il soit ou non un code-barre. Elle présente aussi l'avantage d'être simple d'utilisation : l'utilisateur fournit la taille d'une image et un nuage de points en son sein en entrée, et peut ensuite directement obtenir les données qui lui sont utiles.

### Complexité temporelle

Nous nous sommes efforcés de produire un code relativement efficace en termes de complexité temporelle.

Initialement, celui-ci se terminait en une trentaine de secondes. Nous avons utilisé, dès que possible, des calculs matriciels plutôt que des boucles imbriquées, et fait un usage extensif des fonctionnalités de *numpy*, qui fournit des fonctions efficaces pour les calculs d'algèbre linéaire. Le changement le plus impactant a été l'ajout de la fonction *fftconvolve* de *scipy*, qui tire parti de l'algorithme de la Transformée de Fourier Rapide pour effectuer des convolutions en un temps record.

Ces améliorations nous ont permis d'atteindre une exécution de l'ordre d'une seconde.

## 3.2 Phase 2 : Lecture du code barre

Contrairement à la phase précédente, nous avons implémenté la phase 2 entièrement en programmation impérative. Chaque étape clé de l'algorithme est implémentée par une fonction spécifique, tout en respectant les principes de modularité et de réutilisabilité du code.

Les fonctions réutilisées sont :

- *distance* : Calcule la distance entre deux points.
- *echantillonnage* : Échantillonne un segment pour un nombre de points donné en choisissant le plus proche voisins avec *np.around*.
- *norme\_binaire* : Calcule la norme binaire entre les blocs binaires du code-barres et les séquences à comparer. Cette norme se traduit dans l'implémentation par une comparaison bit à bit.

Les fonctions implémentées sont :

- **Seuillage à l'aide d'Otsu** : La fonction *otsu* permet de seuiller une image en niveaux de gris en utilisant la méthode d'Otsu. D'abord, l'algorithme crée un histogramme de l'image. Ensuite, il parcourt tous les seuils possibles (de 0 à 255 dans notre cas), puis met à jour les valeurs des probabilités de classe et des moyennes de classe. Dès lors, il calcule la variance inter-classe et vérifie itérativement s'il est maximal. En effet, minimiser la variance intra-classe revient à maximiser la variance inter-classe.

- **Détermination des limites du code-barres** : La fonction `find_lim` permet de déterminer les limites du code barre à partir d'un segment donné. La fonction `find_u` permet de déterminer le facteur  $u$  pour échantillonner le second segment de code barre.
- **Analyse du code barre binaire** : La fonction `separate` détermine les douze blocs de données (ignorant les gardes) à partir du segment seuillé et les placent dans un tableau, facilitant alors le déchiffrement. La fonction `compare` va alors utiliser la fonction `norme_binaire` pour comparer chaque bloc binaire du tableau sortant de `separate` et permettre de récupérer les 12 chiffres décodés et une liste contenant la séquence AB.
- **Détermination du premier chiffre du code barre** : La fonction `first_one` permet de déterminer le premier chiffre du code barre à partir de la séquence AB.
- **Vérification de la clef de contrôle** : La fonction `clef_controle` permet de vérifier la validité du code barre en calculant la clé de contrôle. Elle est calculée par le produit scalaire avec le vecteur  $[1, 3, 1, 3, 1, 3, 1, 3, 1, 3, 1, 3]$ . De plus, nous avons utilisé un modulo 10 sur le complément à 10 pour prendre en compte que le complément à 10 de 0 est 0.

## 4 Résultats

### 4.1 Phase 1 : Détection du code barre

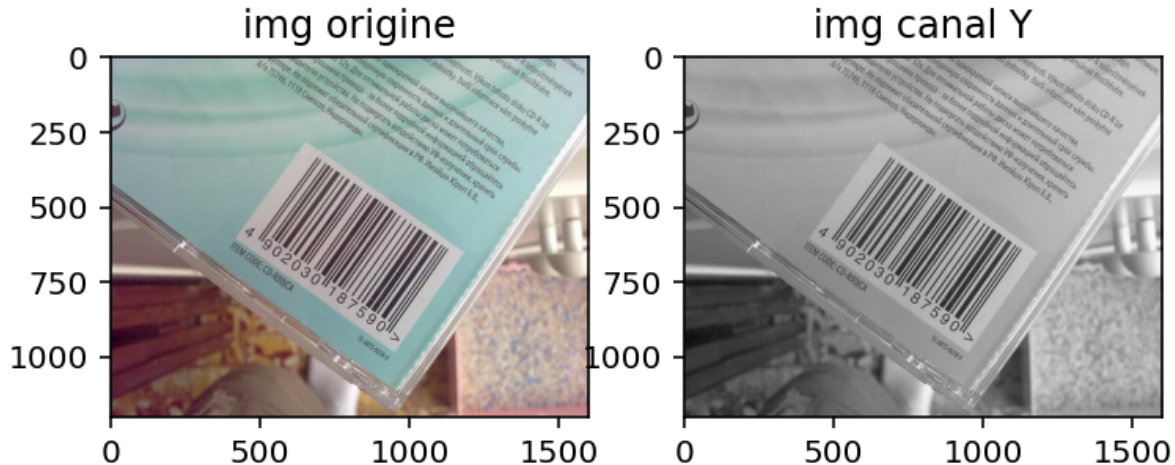


FIGURE 7 – Image originale et canal de Luminance

Nous convertissons l'image couleur RGB en image canal Y pour ne garder que l'intensité du contraste. Cela nous permet de bien distinguer les bandes noires et blanches.

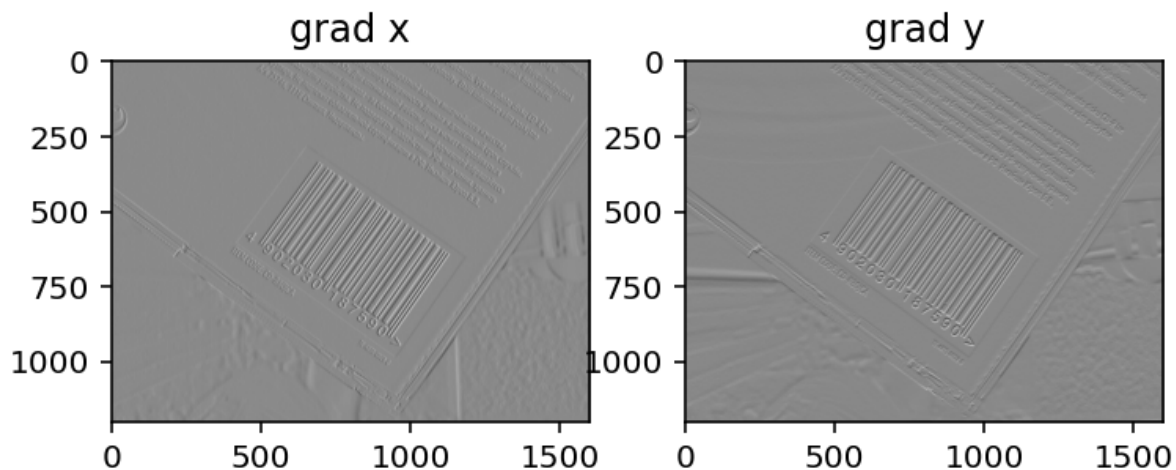


FIGURE 8 – Gradients en X et en Y

A partir du canal de luminance, nous calculons le vecteur gradient selon x et selon y. Pour vérifier qu'il s'agit du gradient selon, nous observons dans l'image à gauche, que l'on observe bien la variation horizontale d'intensité à la coordonnée (1200,1000), on donc bien un gradient selon x. Et pour l'image de droite, nous observons une variation verticale au coordonnée (0,750), donc on a un gradient selon y.

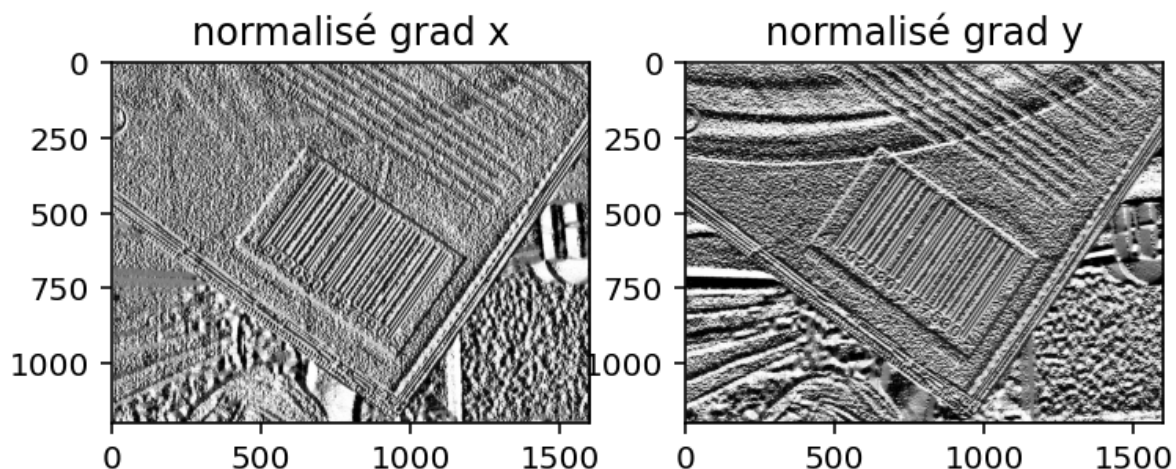
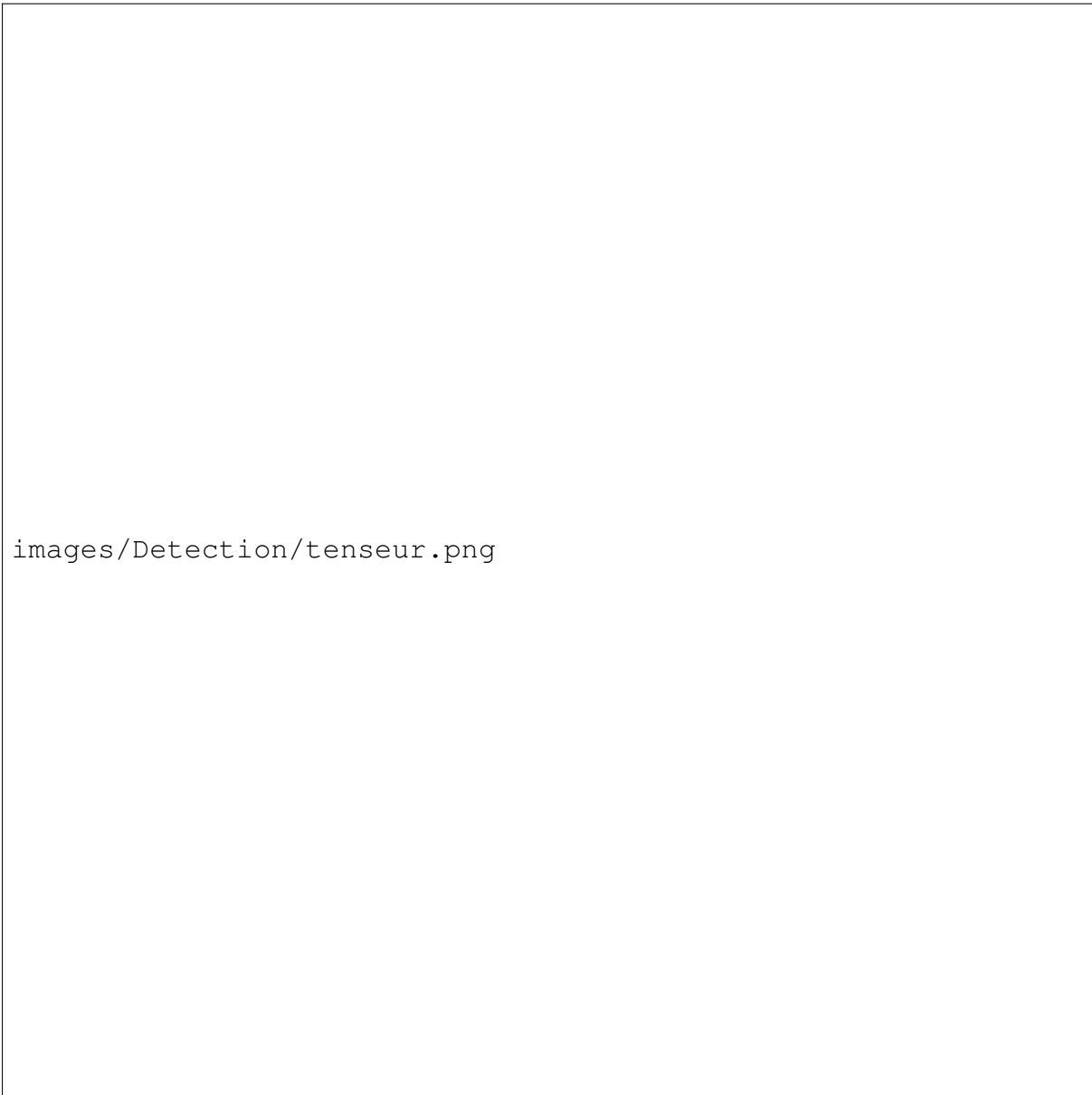


FIGURE 9 – Normalisation des gradients

La normalisation permet d'appuyer les transitions de pixel pour faciliter la détection des codes barres et permet d'avoir un tenseur de structure local bien contrasté.



images/Detection/tenseur.png

FIGURE 10 – Visualisation des composantes du tenseur de structure local

En observant le tenseur  $T_{xy}$ , on peut observer la zone du code barre très contrasté par rapport au reste de l'image.

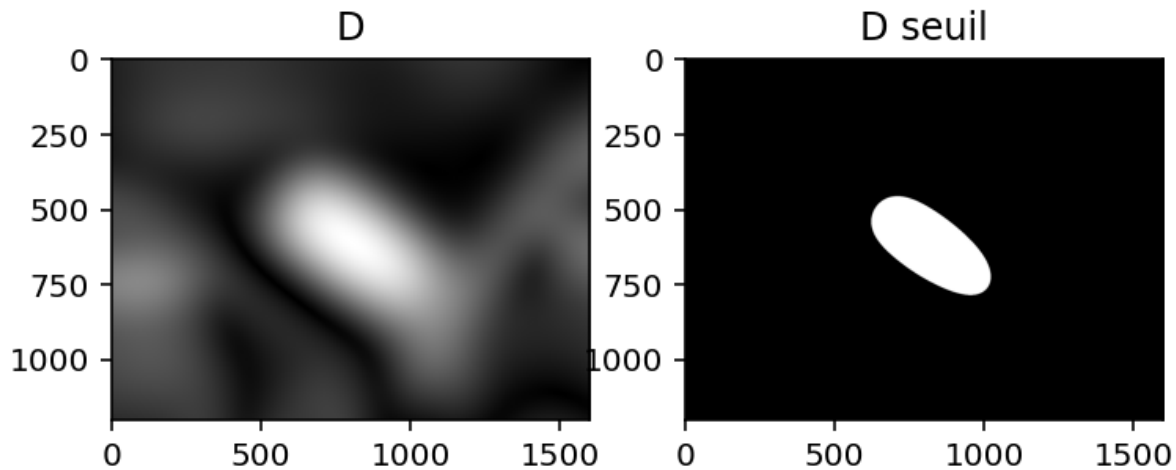


FIGURE 11 – Mesure de cohérence et seuillage

La mesure de cohérence seuillée met en évidence une région d’interet, qui correspond à la zone où le code barre se situe. Nous effectuons un seuillage pour mettre en évidence la zone d’interêt et ainsi faciliter la labélisation.

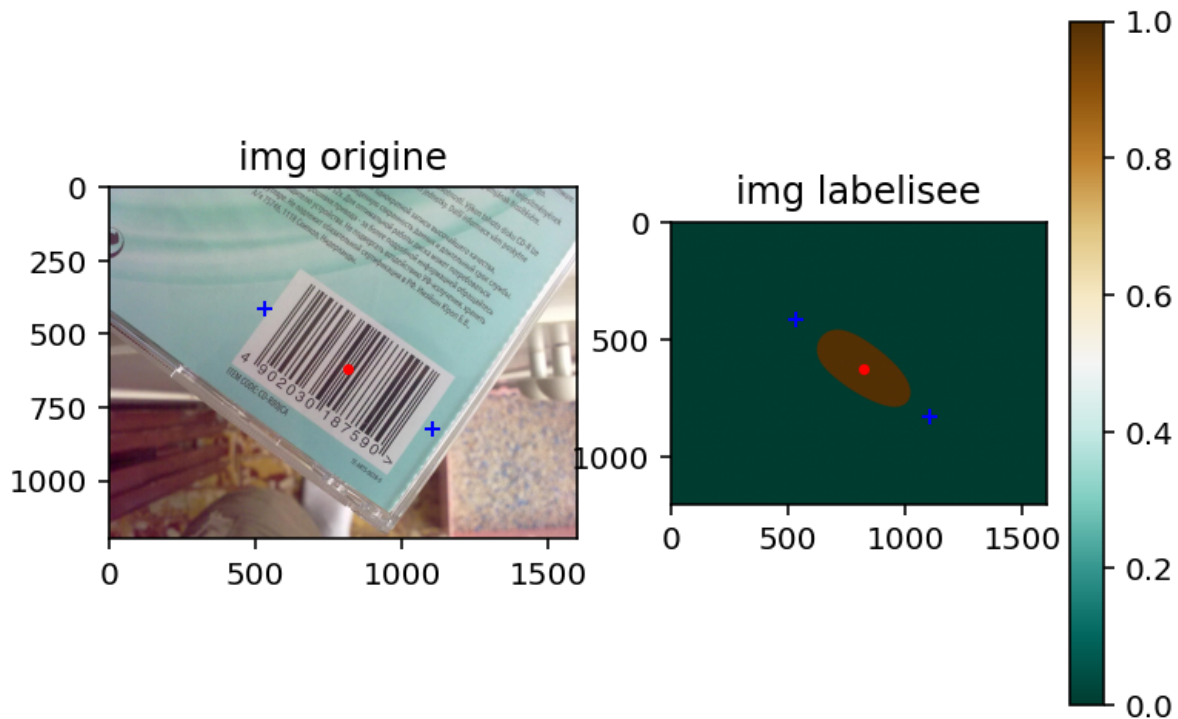


FIGURE 12 – Labélisation et tracé de rayon

En choisissant des paramètres adéquats :

$$\sigma_g = 2, \quad \sigma_t = 50, \quad \text{seuil} = 0.7, \quad \sigma_{\text{bruit}} = 2$$

On obtient un tracé de rayon pertinent.

Ces paramètres sont différents pour chaque image et doivent respecter les conditions citées en ??

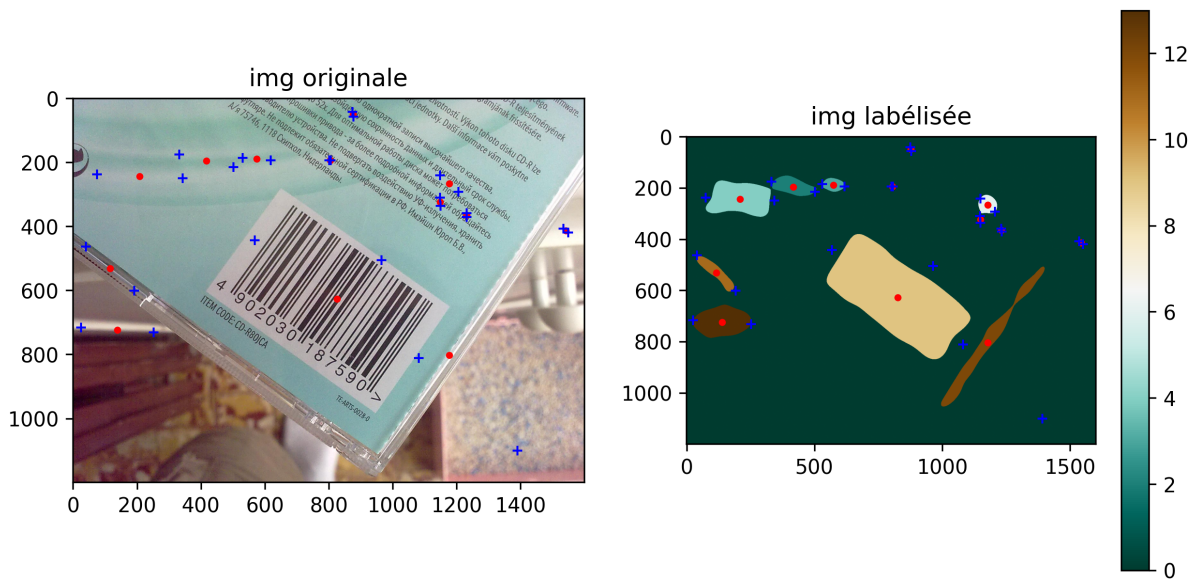


FIGURE 13 – Labérisation et tracé de rayon

Si les paramètres de détection ne sont pas bien choisis, des régions parasites font surface. Ici :

$$\sigma_g = 5, \quad \sigma_t = 30, \quad \text{seuil} = 0.7, \quad \sigma_{\text{bruit}} = 2$$

## 4.2 Phase 2 : Lecture du code barre

### Seuillage à l'aide d'Otsu

Prenons l'image suivante :



FIGURE 14 – Image d'un code barre

Avant de pouvoir lire un code barre, nous devons opérer un seuillage de l'image. Pour cela, nous utilisons la méthode d'Otsu. Pour rappel, cette méthode repose sur le calcul d'un seuil optimal pour binariser une image en niveaux de gris. Ce seuil est déterminé grâce à l'histogramme de l'image et sépare les pixels en deux classes distinctes : les pixels noirs et les pixels blancs.

Pour l'image en figure ??, nous obtenons l'histogramme suivant :

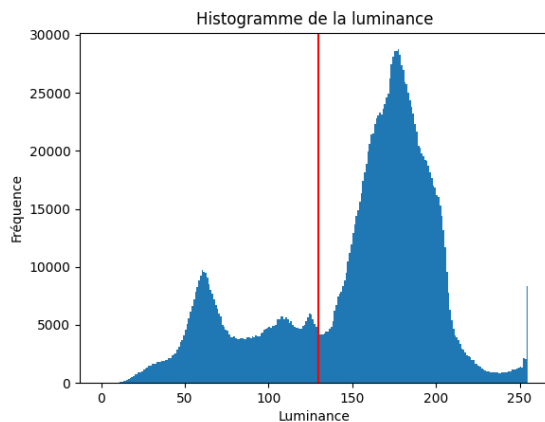


FIGURE 15 – Histogramme de la luminance de l'image

Grâce à ce seuil dénoté par la barre rouge, nous obtenons ainsi l'image seuillée :



FIGURE 16 – Image seuillée

### Détermination des limites du code-barres

Une fois le seuil déterminé, nous pouvons déterminer les limites du code barre. La première étape consiste à un échantillonnage sur un segment puis une binarisation selon un seuil. Ce segment est visible en vert sur la figure suivante.

Nous recevons en argument deux points, qui définissent un segment sur l'image seuillée, comme représenté sur la figure ?? . Nous souhaitons alors réduire ce segment pour ne garder que les deux points correspondant à la première barre noire du code barre.

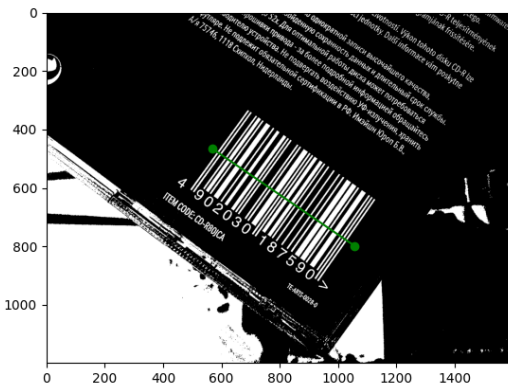


FIGURE 17 – Segment défini par le deux points en arguments

Ensuite, la recherche des limites du code-barres amènent à un nouveau segment entre les deux limites. Nous obtenons alors le nouveau segment entre les points en rouge sur l'image seuillée, comme illustré sur la figure ?? :

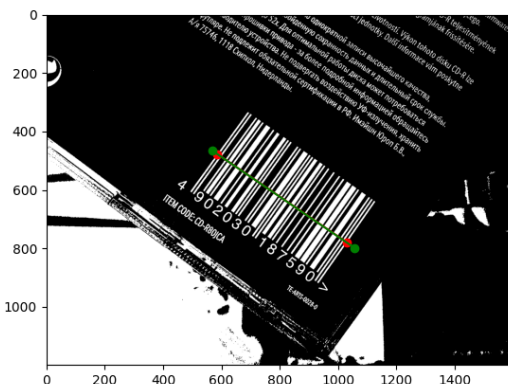


FIGURE 18 – Nouveau segment produit par l'échantillonnage et la binarisation

Celle-ci montre l'efficacité de la recherche de limites qui correspondent bien à celles observables sur l'image ci-dessus.

### Analyse du code barre binaire

On en déduit alors une liste de valeurs binaires. Ceci nous permet ainsi de détecter les zones noires et blanches du code-barres. La figure ?? illustre cette détection, où les zones noires sont représentées en rouge et les zones blanches en bleu.

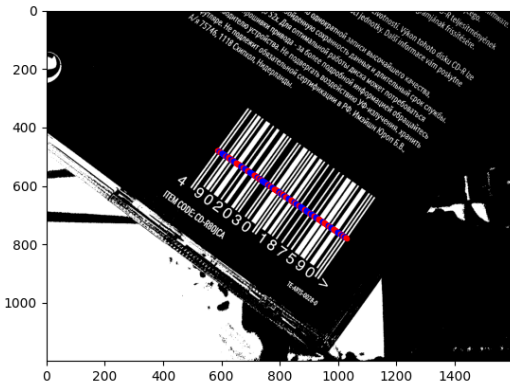


FIGURE 19 – Détection du noir et blanc

Nous notons ici que le décalage apparent sur l'image n'est que le résultat du dé-zoom de l'image. À petite échelle, on voit clairement que les zones sont bien détectées (cf Figure ??).

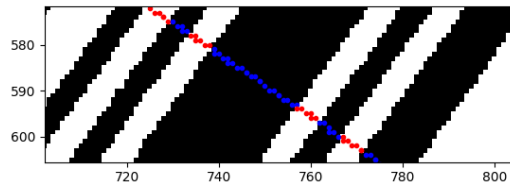


FIGURE 20 – Zoom de la détection

### Détermination du premier chiffre du code barre

À l'aide de la séquence AB obtenue, nous pouvons ainsi déterminer le premier chiffre du code barre en se référant au tableau ???. En l'occurrence, nous obtenons le chiffre 4 comme premier chiffre.

### Vérification de la clef de contrôle

Nous obtenons alors pour cette image le code **4902030187590**, ce qui correspond bien au code barre présent sur l'image (cf Figure ??). De manière générale, il faut tout de même vérifier la validité du code barre. Pour cela, nous suivons l'algorithme de vérification de code barre grâce à la clé de contrôle.

En l'occurrence, le complément à 10 du dernier chiffre du code barre vaut 0, tandis que le chiffre des unités de la somme des chiffres de rang impair et trois fois la somme des chiffres de rang pair vaut 0. Le code barre est donc valide.

### 4.3 Unification des algorithmes

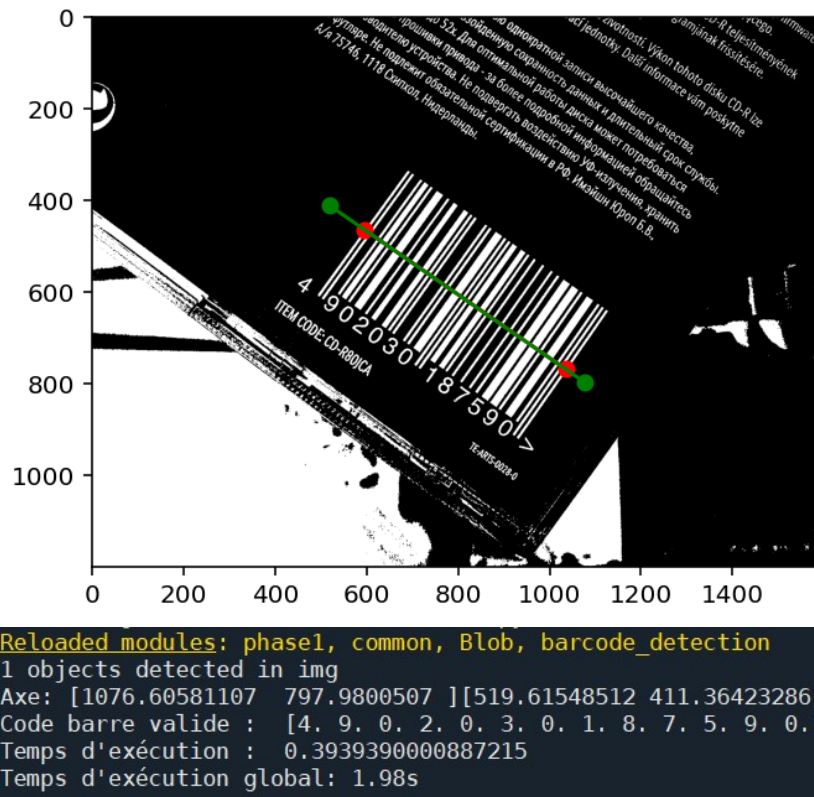


FIGURE 21 – Lecture d'un code barre combinant les deux phases

En figure ?? on observe la sortie obtenue en appliquant l'algorithme de détection qui trace le rayon en vert, utilisé finalement par le programme de lecture.

En combinant ces programmes, on est en mesure, avec des paramètres adéquats à l'image d'effectuer une lecture correcte en un temps de l'ordre de deux secondes.

## 5 Conclusion

## 6 Bilan de l'organisation

### 6.1 Séance 1

	Tâches entreprises	Temps passé
Elisa	Prise de connaissance du sujet et commencement de la méthode d'Otsu	2h
Alban	Lecture et analyse du sujet et début de l'implémentation d'algorithme d'échantillonnage et de binarisation	2h
Tierno	découverte de la problématique, tests sur l'implémentation	2h
David	Lecture du sujet et implémentation des différents filtres	2h

TABLE 3 – Organisation de la séance 1

### 6.2 Séance 2

	Tâches entreprises	Temps passé
Elisa	Finition de la méthode d'Otsu	2h
Alban	Complétion de l'échantillonnage et de la binarisation, début du calcul des limites du code-barres et de la recherche de u	2h
Tierno	Optimisations et corrections	3h
David	Premier prototype de la détection de code barre	2h

TABLE 4 – Organisation de la séance 2

### 6.3 Séance 3

	Tâches entreprises	Temps passé
Elisa	Déboggage et mise en commun de toutes les fonctions de la phase 1	3h
Alban	Déboggage des fonctions de décodage des blocs fait chez soi et mise en commun du travail phase1	3h
Tierno	Labélisation et extraction des régions d'intérêt	3h
David	Implémentation du calcul des couples de points	3h

TABLE 5 – Organisation de la séance 3

## 6.4 Séance 4

	Tâches entreprises	Temps passé
Elisa	Dernier déboggage et test sur des exemples pour vérifier l'efficacité du code	3h
Alban	Dernier déboggage et test sur des exemples pour vérifier l'efficacité du code	3h
Tierno	Factorisations, implémentation de la classe Blob (en partie en travail personnel)	6h
David	Mise en commun avec la 2e phase et dernier déboggage	3h

TABLE 6 – Organisation de la séance 4

## 6.5 Séance 5

	Tâches entreprises	Temps passé
Elisa	Rédaction du rapport	3h
Alban	Rédaction du rapport	3h
Tierno	Corrections dans l'algorithme de tracé de rayons	3h
David	Rédaction du rapport	3h

TABLE 7 – Organisation de la séance 5

## 7 Annexes

### 7.1 Phase 1 : Détection du code barre

#### 7.1.1 Détection des codes barres et tracé de rayons

```

1 import numpy as np
2 import matplotlib.pyplot as plt
3 from matplotlib import cm
4 from skimage import io, color, measure
5 from scipy import signal
6 from scipy.signal import fftconvolve
7 from Blob import Blob
8 from time import time
9 from math import floor, sqrt
10 import os
11 from common import *
12 start_time = time()
13 # ~~~~~ Fonctions préliminaires ~~~~~
14
15 def G_2D(sigma):
16     x = range(floor(-3*sigma), floor(3*sigma+1))
17     X, Y = np.meshgrid(x, x)
18     return np.exp(-1/2*(X**2/(sigma**2)+(Y**2/sigma**2)))
19
20
21 def G_x_prime(sigma): # derive d'une gaussienne
22     P = range(floor(-3*sigma), floor(3*sigma+1))
23     X, Y = np.meshgrid(P, P)
24     return (-X/(2*np.pi*sigma**4))*np.exp(-(X**2+Y**2)/(2*sigma**2))
25
26
27 def G_y_prime(sigma): # derive d'une gaussienne
28     P = range(floor(-3*sigma), floor(3*sigma+1))
29     X, Y = np.meshgrid(P, P)
30     return (-Y/(2*np.pi*sigma**4))*np.exp(-(X**2+Y**2)/(2*sigma**2))
31
32 def D(X, Y, Z): return np.sqrt((X-Y)**2+4*Z**2)/(X+Y)
33
34 def barcode_detection(img,sigma_g,sigma_t,seuil,sigma_bruit=2,affichage=False):
35     # ~~~~~ Préparation de l'image ~~~~~
36     # %%
37     img_code_barre = plt.imread(img)
38     # ~~~ transformation de rgb en ycrcb ~~~
39     img_code_barre_YCbCr = color.rgb2ycbcr(img_code_barre)
40     Y_code_barre = img_code_barre_YCbCr[:, :, 0]
41     Cb_code_barre = img_code_barre_YCbCr[:, :, 1]
42     Cr_code_barre = img_code_barre_YCbCr[:, :, 2]
43     Y_code_barre += np.random.randn(len(Y_code_barre), len(Y_code_barre[0]))*sigma_bruit
44     # ~~~~~ Gradients ~~~~~
45     gauss_x_prime = G_x_prime(sigma_g)
46     gauss_y_prime = G_y_prime(sigma_g)
47     h, w, c = np.shape(img_code_barre_YCbCr)
48     x = np.linspace(0, h, h)
49     y = np.linspace(0, w, w)

```

```

50 X, Y = np.meshgrid(y, x)
51 I_x = fftconvolve(Y_code_barre, gauss_x_prime, mode='same')
52 I_y = fftconvolve(Y_code_barre, gauss_y_prime, mode='same')
53 # ~~~~~ Normalisation ~~~~~
54 delta_I = np.stack((I_x, I_y), axis=-1)
55 N_delta_I = np.linalg.norm(delta_I, ord=2, axis=-1)
56 N_I_x = I_x/N_delta_I
57 N_I_y = I_y/N_delta_I
58
59 # ~~~~ tenseur de structure local T ~~~~~
60 gauss2D = G_2D(sigma_t)
61 Txx = fftconvolve(N_I_x * N_I_x, gauss2D, mode='same')
62 Tyy = fftconvolve(N_I_y * N_I_y, gauss2D, mode='same')
63 Txy = fftconvolve(N_I_x * N_I_y, gauss2D, mode='same')
64 T = np.block([[Txx, Txy], [Txy, Tyy]])
65 # ~~~~ Mesure de cohérence ~~~~~
66 D_res = D(Txx, Tyy, Txy)
67 # ~~~~ Seuillage ~~~~~
68 D_seuil = (D_res > seuil)
69 # ~~~~ Labelisation ~~~~~
70 D_labeled, num_labels=measure.label(D_seuil, return_num=True)
71 blobs=measure.regionprops(D_labeled)
72 print(f"{num_labels} objects detected in img")
73 coords=[x.coords for x in blobs]
74 # ~~~~ Extraction de l'axe ~~~~~
75
76 # En utilisant la méthode vectorielle
77 Blobs=[Blob(pixels=x.coords,imsize=[h,w]) for x in blobs]
78 axis=[b.calc_axis_ray(6) for b in Blobs]
79
80 # Méthode des points extrêmes
81 # Blobs=[Blob(pixels=x.coords,imsize=[h,w]) for x in blobs]
82 # axis=[b.calc_axis_extr() for b in Blobs]
83 #=====
84 # affichage basique des rayons obtenus
85 plt.figure()
86 plt.subplot(1, 2, 1)
87 plt.imshow(img_code_barre)
88 for blob in Blobs:
89     # assert(blob.axis!=None)
90     x=[u[0] for u in blob.axis]
91     y=[u[1] for u in blob.axis]
92     p=blob.barycentre
93     plt.plot(p[1],p[0],"or",markersize=2.5)
94     plt.plot(x,y,"+b",markersize=5)
95 plt.title("img origine")
96 plt.subplot(1, 2, 2)
97 plt.imshow(D_labeled, cmap=cm.BrBG_r)
98 for blob in Blobs:
99     # assert(blob.axis!=None)
100    x=[u[0] for u in blob.axis]
101    y=[u[1] for u in blob.axis]
102    p=blob.barycentre
103    plt.plot(p[1],p[0],"or",markersize=2.5)
104    plt.plot(x,y,"+b",markersize=5)
105 plt.title("img labelisée")
106 plt.colorbar()

```

```
107     plt.show()
108     if affichage:
109         # ~~~~~ Affichage détaillé ~~~~~
110
111     plt.figure(1)
112     plt.subplot(1, 2, 1)
113     plt.imshow(img_code_barre)
114     plt.title("img origine")
115     plt.subplot(1, 2, 2)
116     plt.imshow(img_code_barre_YCbCr[:, :, 0], cmap='gray')
117     plt.title("img canal Y")
118
119     plt.figure(2)
120     plt.subplot(1, 2, 1)
121     plt.imshow(I_x, cmap='gray')
122     plt.title("grad x")
123     plt.subplot(1, 2, 2)
124     plt.imshow(I_y, cmap='gray')
125     plt.title("grad y")
126
127     plt.figure(3)
128     plt.subplot(1, 2, 1)
129     plt.imshow(N_I_x, cmap='gray')
130     plt.title("normalisé grad x")
131     plt.subplot(1, 2, 2)
132     plt.imshow(N_I_y, cmap='gray')
133     plt.title("normalisé grad y")
134
135     plt.figure(4)
136     plt.subplot(1, 3, 1)
137     plt.imshow(Txx, cmap='gray')
138     plt.title("Txx")
139     plt.subplot(1, 3, 2)
140     plt.imshow(Tyy, cmap='gray')
141     plt.title("Tyy")
142     plt.subplot(1, 3, 3)
143     plt.imshow(Txy, cmap='gray')
144     plt.title("Txy")
145
146     plt.figure(5)
147     plt.subplot(1, 2, 1)
148     plt.imshow(D_res, cmap='gray')
149     plt.title("D")
150     plt.subplot(1, 2, 2)
151     plt.imshow(D_seuil, cmap='gray')
152     plt.title("D seuil")
153     plt.show()
154
155     return Blobs
156 # ~~~~ TEST DE L'EXTRACTION ~~~~~
157 # %%
158 img="img/barcode0.jpg"
159 # Pour le bruit, à régler à la main (2 est un bon point de départ)
160 sigma_bruit = 3
161 # Pour le gradient, relativement faible pour trouver les vecteurs de
162 # transition correspondant aux barres
163 sigma_g = 2
```

```

163
164 # Pour le tenseur, relativement élevé pour trouver des clusters de vecteurs
165 # gradient
166 sigma_t = 100
167 seuil = 0.7
168 u=barcode_detection(img,sigma_g,sigma_t,seuil=0.5,sigma_bruit=2)
169 # u=barcode_detection("img/code_barre_prof.jpg",1,15,0.7,2,affichage=False)
170 # u=barcode_detection("img/barcode0.jpg",sigma_g=2,sigma_t=50,seuil=0.7,
171 #                         sigma_bruit=2)
172 # u=barcode_detection("img/b1.jpg",2,50,0.7,2,affichage=False)
173 for blob in u:
174     print("Barycentre: ",end="")
175     print(blob.barycentre)
176     print("Axe: ",end="")
177     print(blob.axis)
178     print("Valeurs propres: ",end="")
179     print(blob.valeurs_propres)
180     o=blob.axis
181 print(f"Code exécuté en {round(time()-start_time,3)} s")

```

### 7.1.2 Classe Blob

```

1 import numpy as np
2 import matplotlib.pyplot as plt
3 from matplotlib import cm
4 from math import floor, sqrt
5 from common import *
6
7 class Blob:
8     def __init__(self, pixels=None, imsize=None):
9         # Arguments indispensables
10        self.pixels = pixels
11        self.imsize=imsize # (h,w)
12        # Calculés ultérieurement
13        self.X = None
14        self.Y = None
15        self.barycentre = None
16        self.valeurs_propres = None
17        self.vecteurs_propres = None
18        self.axis = None
19        # Pour d'éventuelles applications futures
20        self.area = None
21        self.longueur = None
22    def calc_XY(self):
23        self.X,self.Y=self.pixels[:,0],self.pixels[:,1]
24        return self.X,self.Y
25    def calc_braycentre(self):
26        self.barycentre=np.mean(self.pixels, axis=0)
27        return self.barycentre
28    def calc_vpropres(self):
29        self.valeurs_propres, self.vecteurs_propres=np.linalg.eig(np.cov(
30            self.X, self.Y))
31        return self.valeurs_propres, self.vecteurs_propres

```

```

32     def calc_area(self): # pour éventuellement appliquer un critère de sélection sur la taille du bousin
33         self.area=self.pixels.size # not the real area, but a good measure
34         of how large it is
35         return self.area
36
37     def calc_all(self):
38         try:
39             self.calc_XY()
40             self.calc_braycentre()
41             self.calc_vpropres()
42             return True
43         except Exception as e:
44             print(e)
45             return False
46
47     def calc_axis_0(self):
48         self.calc_all()
49         if self.axis==None:
50             if self.valeurs_propres[0]<self.valeurs_propres[1]:
51                 p1 = floor(self.barycentre[1]+self.valeurs_propres[0]/2*
52 self.vecteurs_propres[0][0]), floor(self.barycentre[0]+self.
53 valeurs_propres[0]/2*self.vecteurs_propres[0][1])
54                 p2 = floor(self.barycentre[1]-self.valeurs_propres[0]/2*
55 self.vecteurs_propres[0][0]), floor(self.barycentre[0]-self.
56 valeurs_propres[0]/2*self.vecteurs_propres[0][1])
57                 self.axis=[p1,p2]
58             else:
59                 p1 = floor(self.barycentre[1]+self.valeurs_propres[1]/2*
60 self.vecteurs_propres[1][0]), floor(self.barycentre[0]+self.
61 valeurs_propres[1]/2*self.vecteurs_propres[1][1])
62                 p2 = floor(self.barycentre[1]-self.valeurs_propres[1]/2*
63 self.vecteurs_propres[1][0]), floor(self.barycentre[0]-self.
64 valeurs_propres[1]/2*self.vecteurs_propres[1][1])
65                 self.axis=[p1,p2]
66         return self.axis
67
68     def calc_axis_extr(self):
69         # méthode des points extrêmes
70         self.calc_all()
71         if self.axis==None:
72             max_l=max(self.imsize)
73             if self.valeurs_propres[0]<self.valeurs_propres[1]:
74                 vecteurs_propres_norm=self.vecteurs_propres[0]/np.linalg.
75 norm(self.vecteurs_propres[0])
76                 p1 = floor(self.barycentre[1]+max_l*vecteurs_propres_norm
77 [0]), floor(self.barycentre[0]+max_l*vecteurs_propres_norm[1])
78                 p2 = floor(self.barycentre[1]-max_l*vecteurs_propres_norm
79 [0]), floor(self.barycentre[0]-max_l*vecteurs_propres_norm[1])
80                 p1=bornage(self.imsize[1],self.imsize[0],p1)
81                 p2=bornage(self.imsize[1],self.imsize[0],p2)
82                 self.axis=[p1,p2]
83             else:
84                 vecteurs_propres_norm=self.vecteurs_propres[1]/np.linalg.
85 norm(self.vecteurs_propres[1])
86                 p1 = floor(self.barycentre[1]+max_l*vecteurs_propres_norm
87 [0]), floor(self.barycentre[0]+max_l*vecteurs_propres_norm[1])

```

```

74         p2 = floor(self.barycentre[1]-max_l*vecteurs_propres_norm
75             [0]), floor(self.barycentre[0]-max_l*vecteurs_propres_norm[1])
76             p1=bornage(self.imsiz[1],self.imsiz[0],p1)
77             p2=bornage(self.imsiz[1],self.imsiz[0],p2)
78             self.axis=[p1,p2]
79             return self.axis
80
81     def calc_axis_ray(self,len_adjust=6):
82         # len adjust: facteur d'ajustement pour la longueur finale de l'axe
83         . initialement à 1.
84         self.calc_all()
85         if self.valeurs_propres[0]>self.valeurs_propres[1]: #on détecte la
86             valeur propre la plus grande
87             imax=0
88         else:
89             imax=1
90             axe=np.abs(self.vecteurs_propres[:,(imax+1)%2]) #on extrait le
91             vecteur propre correspondant à la valeur minimale
92             # abs pour etre sur d'extraire le bon angle
93             axe_norm=axe/np.linalg.norm(axe,2)
94             alpha=np.arccos(axe_norm[0]) # on extrait l'angle avec l'
95             horizontale
96             r=len_adjust*np.sqrt(self.valeurs_propres[imax])
97             self.axis = ray_center(self.barycentre[::-1],r , alpha)
98             return self.axis
99
100    def draw_random_rays(self,length,n):
101        self.calc_all()
102        return [random_ray_center_2(self.imsiz[0], self.imsiz[1], length,
103        self.barycentre) for i in range(n)]

```

### 7.1.3 Fonctions utilitaires

```

1 import numpy as np
2 import matplotlib.pyplot as plt
3
4 def bornage(h, w, p): # à voir si une accélération est possible
5     p=list(p)
6     if p[0] < 0:
7         p[0] = 0
8     if p[0] > h:
9         p[0] = h-1
10    if p[1] < 0:
11        p[1] = 0
12    if p[1] > w:
13        p[1] = w-1
14    return p
15
16 # ~~~~ Fonctions tracé de rayons ~~~~~
17 # %%
18 # ajouter des paramètres pour avoir un tirage gaussien (ou autre)
19
20 def ray_center(center,length,angle):
21     """
22     Parameters
23     -----

```

```
24     center : np.array([x0,y0])
25     length : float
26     angle : float
27     crée un rayon de centre center, de longueur length et d'angle alpha (
28     par rapport à l'horizontale)
29     """
30     offset = np.array([np.cos(angle), np.sin(angle)])*length/2
31     x1 = center+offset
32     x2 = center-offset
33     return np.array([x1,x2])
34
34 def random_ray_center(h, w, length):
35     # méthode: centre, angle, longueur
36     angle = np.random.uniform(0, 2*np.pi)
37     r = length/2
38     center = np.array([np.random.randint(0, h), np.random.randint(0, w)])
39     offset = np.array([np.cos(angle), np.sin(angle)])*r
40     x1 = center+offset
41     x2 = center-offset
42     return np.int32([bornage(h, w, x1), bornage(h, w, x2)])
43
44 def random_ray_center_2(h, w, length,center):
45     # méthode: centre, angle, longueur
46     angle = np.random.uniform(0, 2*np.pi)
47     r = length/2
48     offset = np.array([np.cos(angle), np.sin(angle)])*r
49     x1 = center+offset
50     x2 = center-offset
51     return np.int32([bornage(h, w, x1), bornage(h, w, x2)])
52
53 def random_ray(h, w, length):
54     # méthode: extrémité1, angle, longueur
55     angle = np.random.uniform(0, 2*np.pi)
56
57     x1 = np.array([np.random.randint(0, h), np.random.randint(0, w)])
58     offset = np.array([np.cos(angle), np.sin(angle)])*length
59     x2 = x1+offset
60
61     return np.int32([bornage(h, w, x1), bornage(h, w, x2)])
62
63 def plot_ray(ray):
64     # for debugging
65     plt.figure()
66     plt.plot(ray[:,0],ray[:,1])
67     k=5
68     plt.plot(k * np.array([1, 1, -1, -1, 1]), k * np.array([1, -1, -1, 1,
69     1]))
70     plt.grid()
71     return
72
72 def get_angle(ray):
73     ray=np.array(ray)
74     print(ray)
75     axe=np.abs(ray[:,1]-ray[:,0]) #abs pour être sûr d'extraire l'angle
76     # avec l'horizontale
77     axe_norm=axe/numpy.linalg.norm(axe,2)
78     alpha=numpy.arccos(axe_norm[0]) # on extrait l'angle avec l'horizontale
```

```
78     return alpha
```

## 7.2 Phase 2 : Lecture du code barre

```

1 def otsu(img, bins=255):
2     luminance = None
3
4     # Si l'image est en couleur (3 dimensions)
5     if len(img.shape) == 3 and img.shape[2] > 1:
6         # Calcul de la luminance
7         luminance = np.array([(img[i][j][0] + img[i][j][1] + img[i][j][2])//3
8                               for j in range(img.shape[1]) for i in range(img.shape[0])])
9         luminance = luminance.ravel()
10    else:
11        luminance = img.ravel()
12
13    # Création de l'histogramme
14    histogram, bin_edges = np.histogram(luminance.ravel(), range=(0, 255),
15                                         bins=bins)
16
17    # Moyenner l'histogramme
18    histogram = histogram/sum(histogram)
19
20    # Création d'un dico pour associer chaque valeur de luminance à sa fréquence
21    histogram_dic = {int(bin_edges[i]): histogram[i] for i in range(len(histogram))}

22    # Initialisation des moyennes et poids initiaux
23    n = len(histogram_dic)
24    sumB = 0
25    wB = 0
26    maximum = 0.0
27    sum1 = sum(i * histogram_dic[i] for i in range(n))
28    total = sum(histogram_dic.values())
29    level = 0
30    for k in range(1, n):
31        wF = total - wB
32        if wB > 0 and wF > 0:
33            mF = (sum1 - sumB) / wF
34            val = wB * wF * (sumB / wB - mF) * (sumB / wB - mF)
35
36            if val >= maximum:
37                level = k
38                maximum = val
39
40        wB += histogram_dic[k]
41        sumB += (k-1) * histogram_dic[k] # A vérifier si c'est k ou k-1
42
43    return level
44
45 def distance(x1,y1,x2,y2):
46     """ Calcule la distance entre deux points """
47     return np.sqrt((x2-x1)**2+(y2-y1)**2)
48 def echantillonnage(x1,y1,x2,y2,Nb_points):

```

```

49     """On échantillonne sur le segment (x1,y1)->(x2,y2)"""
50     """On va choisir le plus proche voisin"""
51     X=np.around(np.linspace(np.floor(x1),np.ceil(x2),Nb_points)).astype(int)
52     Y=np.around(np.linspace(np.floor(y1),np.ceil(y2),Nb_points)).astype(int)
53     return X,Y
54
55
56 def find_lim(x1,y1,x2,y2,img,seuil):
57     """Récupération des points de départ et d'arrivée pour le segment 2"""
58     X,Y=echantillonnage(x1,y1,x2,y2,np.ceil(distance(x1, y1, x2, y2)).
59     astype(int))
60     valeurs_img=np.zeros((len(X), 1))
61
62     for i in range(0,len(X)):
63         valeurs_img[i]=(img[Y[i], X[i]]) >= seuil
63     i1=0
64     i2=0
65
66     for i in range(0,len(valeurs_img)):
67         if valeurs_img[i]==0:
68             i1=i
69             break
70     for i in range(len(valeurs_img)-1,1,-1):
71         if valeurs_img[i]==0:
72             i2=i
73             break
74     return X[i1],Y[i1],X[i2],Y[i2] # xd,yd,xa,ya
75
76
77 def find_u(xd,yd,xa,ya,img,seuil):
78     """On va prendre le multiple u et le signal binaire à analyser"""
79     nb_p=np.ceil(distance(xd,yd,xa,ya)).astype(int) # Nombre de points L'
80     Nb_points=0 # u * 95
81     u=0
82     while (Nb_points<=nb_p): # On cherche le plus petit u tq u * 95 > nb_p
83         Nb_points+=95
84         u+=1
85
86     X,Y=echantillonnage(xd,yd,xa,ya,Nb_points)
87     valeurs_img=np.zeros((len(X), 1))
88
89     for i in range(0,len(X)):
90         valeurs_img[i]=(img[Y[i], X[i]]) <= seuil
91
92
93     return valeurs_img,u #Echantillonnage et binarisation
94
95
96 def separate(segment_seuille,u):
97     L=np.zeros((12,u*7))
98     start=3*u # Détermine les "gardes" (offset)
99     for i in range(0,12):
100         if (i==6):
101             start=start+5*u
102             segment_seuille_temp = segment_seuille[start+i*7*u : start+(i+1)*7*u]
103

```

```

104         for j in range(len(L[i])):
105             L[i,j] = segment_seuille_temp[j,0]
106
107     return L
108
109 def norme_binaire(liste_binaire, chaine_binaire, u):
110     sum=0
111     for k in range(0,7):
112         for i in range(0,u):
113             sum+=(liste_binaire[k*u+i]!=int(chaine_binaire[k]))
114     return sum
115
116 def compare(region_chiffres_bin, L_the, u):
117     normes_codes=len(region_chiffres_bin[0])
118     decode=np.zeros((12))
119     r=""
120     for i in range(0,6):
121         r_b=r
122         for j in range(0,len(L_the[0])):
123             if (normes_codes>=norme_binaire(region_chiffres_bin[i],L_the
124 [0][j],u)):
125                 normes_codes=norme_binaire(region_chiffres_bin[i],L_the[0][
126 j],u)
127                 decode[i]=int(j)
128                 r=r_b+"A"
129             if (normes_codes>=norme_binaire(region_chiffres_bin[i],L_the
130 [1][j],u)):
131                 normes_codes=norme_binaire(region_chiffres_bin[i],L_the[1][
132 j],u)
133                 decode[i]=int(j)
134                 r=r_b+"B"
135             normes_codes=len(region_chiffres_bin[0])
136     for i in range(6,len(region_chiffres_bin)):
137         for j in range(0,len(L_the[0])):
138             if (normes_codes>=norme_binaire(region_chiffres_bin[i],L_the
139 [2][j],u)):
140                 normes_codes=norme_binaire(region_chiffres_bin[i],L_the[2][
141 j],u)
142                 decode[i]=int(j)
143                 normes_codes=len(region_chiffres_bin[0])
144     return decode,r
145
146 def first_one(decode,r,tab):
147     """ Retourne le premier chiffre """
148     for i in range(0,len(tab)):
149         if (r==tab[i]):
150             return i
151     return None
152
153 def clef_controle(decode):
154     # Complément à 10 du dernier chiffre du code barre
155     complement = (10 - decode[-1]) % 10
156
157     L = [1, 3, 1, 3, 1, 3, 1, 3, 1, 3, 1, 3]
158     clef = np.sum(decode[0:-1] * L) % 10
159
160     return clef == complement

```

```

155
156 def phase1(x, y, img, seuil):
157     starttime = time.perf_counter()
158     x1 = x[0]
159     y1 = y[0]
160     x2 = x[1]
161     y2 = y[1]
162     codage_chiffres_bin = [[ "0001101", "0011001", "0010011", "0111101", "0100011", "0110001", "0101111", "0111011", "0110111", "0001011"], ["0100111", "0110011", "0011011", "0100001", "0011101", "0111001", "0000101", "0010001", "0001001", "0010111"], ["1110010", "1100110", "1101100", "1000010", "1011100", "1001110", "1010000", "1000100", "1001000", "1110100"]]
163
164     codage_premier_chiffre = [ "AAAAAA", "AABABB", "AABBAB", "AABBBA", "ABAABB", "ABBAAB", "ABBBAA", "ABABAB", "ABABBA", "ABBABA"]
165     Nb=np.ceil(distance(x1, y1, x2, y2)).astype(int) # Nombre de points
166
167
168     # Binarisation
169     xd,yd,xa,ya = find_lim(x1,y1,x2,y2,img,seuil)
170
171     # Echantillonage + Binarisation de l'image après seuillage
172     segment_seuillage, u = find_u(xd,yd,xa,ya,img,seuil)
173     regions_chiffres_bin = separate(segment_seuillage,u)
174
175     # Décodage des regions binaires
176     regions_chiffres, sequence_AB = compare(regions_chiffres_bin,
177     codage_chiffres_bin,u)
178
179     # Ajout du premier chiffre
180     premier_chiffre = first_one(regions_chiffres,sequence_AB,
181     codage_premier_chiffre)
182
183     if (premier_chiffre == None):
184         return None
185
186     # Vérification de la clé de contrôle
187     if clef_controle(code_barre):
188         print("Code barre valide : ", code_barre)
189         endtime = time.perf_counter() - starttime
190         print("Temps d'exécution : ", endtime)
191         return code_barre
192     else:
193         print("Code barre invalide : ", code_barre)
194         return None

```

### 7.3 Main

```

1 from phase1 import *
2 from barcode_detection import *
3 start=time()
4 # Détection des barres
5 img_name = 'img/barcode0.jpg'
6
7 # Lecture du code barre

```

```
8 img = cv2.imread(img_name, cv2.IMREAD_GRAYSCALE)
9
10 # Seuillage avec la méthode d'Otsu
11 seuil = otsu(img)
12
13 # Extraction des points d'intérêt
14 Blobs = barcode_detection(img_name, sigma_g=2, sigma_t=50, seuil=0.7,
15                           sigma_bruit=2)
15 # Lecture à partir des points trouvés
16 for blob in Blobs:
17     # altérer la méthode de calcul de l'axe si besoin (blob.calc_axis_...)
18     # blob.calc_axis_ray(len_adjust=5)
19     x = blob.axis[:,0].astype(int).tolist()[:-1]
20     y = blob.axis[:,1].astype(int).tolist()[:-1]
21     print("Axe: ", end="")
22     print(blob.axis[0], end=""); print(blob.axis[1])
23     res=phasel(x, y, img, seuil)
24
25 duration=time()-start
26 print("Temps d'exécution global: {}s".format(round(duration,2)))
```